# 浅层地下水3H-3He 法测年技术在石家庄市应用研究

## 韩庆芝 刘存富 刘 果 段光武 赵俊玲 陈 辉

中国地质大学(武汉)环境学院 湖北 武汉 430074

摘 要 <sup>3</sup>H-<sup>3</sup>He 测年法是利用母体<sup>3</sup>H 衰变成子体<sup>3</sup>He 这一对核素的衰减和累积原理实现的,它能够很好地取代氚法测年。根据石家庄地区地质和水文地质实际及原有研究基础,选取有代表性的井点取样、测试并计算了各井点浅层水年龄。计算结果与 1982 年的氚法测年结果对比,具有一致的变化规律,石家庄市浅层地下水年龄从北到南逐渐变大,东南部最大,滹沱河沿岸一带由于近年来黄壁庄水库每年或隔年向滹沱河放水,其浅层地下水年龄较小。总之,<sup>3</sup>H-<sup>3</sup>He 测年法在石家庄市浅层地下水测年应用中取得了比较理想的结果。

关键词 <sup>3</sup>H-<sup>3</sup>He 测年法 石家庄 地下水年龄

# The Application of Shallow Groundwater <sup>3</sup>H-<sup>3</sup>He Dating Technique to Shijiazhuang City

HAN Qingzhi LIU Cunfu LIU Guo DUAN Guangwu ZHAO Junling CHEN Hui School of Environmental Studies, China University of Geosciences, Wuhan, Hubei, 430074

**Abstract** The <sup>3</sup>H-<sup>3</sup>He dating method is based on the principle that <sup>3</sup>He concentration increases and <sup>3</sup>H concentration decreases with the continual radioactive decay of tritium. This technique can well replace the tritium method in dating. With the financial support by the National NSFC to the project "The Application of shallow groundwater <sup>3</sup>H-<sup>3</sup>He dating technique to hydrogeology", and based on the actual geological and hydrogeological conditions as well as previous studies in Shijiazhuang area, the authors collected water samples from some representative wells. The <sup>3</sup>H-<sup>3</sup>He ages of the shallow groundwater were determined through calculation of the test result. These data show a consistent changing regularity with the tritium ages dated in 1982. From north to south the ages of shallow groundwater gradually increase, with the oldest sample being in the southeast. Along the Hutuo River the ages are rather young, and this is attributed to the recharge by the rivers in recent years. The application of the <sup>3</sup>H-<sup>3</sup>He dating method to Shijiazhuang shallow groundwater proves to be very satisfactory.

Key words <sup>3</sup>H-<sup>3</sup>He dating method Shijiazhuang age of shallow groundwater

<sup>3</sup>H-<sup>3</sup>He 法测年技术是利用母体<sup>3</sup>H 衰变成子体<sup>3</sup>He 这一对核素的衰减和累积原理测定地下水年龄。该方法能够较好地取代目前不适用了的氚法测定年龄在 50 a 以内的浅层地下水年龄。2003 年 ,笔者根据地质和水文地质实际及原有研究基础条件 ,对河北石家庄地区选取有代表性的井点进行现场采样、测定和同位素测试( <sup>3</sup>H 由中国地质科学院岩溶地质研究所分析测定 ;微量惰性气体由中国科学院兰州地质研究所测定 )。对所取得的资料进行整理、分析和计算 ,对比氚法、<sup>3</sup>H-<sup>3</sup>He 法均得到了较一致的结果。

# 1 石家庄市区地质、水文地质概况

石家庄地区位于滹沱河冲洪积扇之顶部 ,主要

由砂砾石、卵石和粗砂组成,上部浅层含水层,底界埋深 45~135 m,一般含水层厚度 25~60 m。石家庄市市区东部主要由中粗砂、细砂组成,含水层中地下水主要由大气降水补给,北部滹沱河沿岸近年来常有黄壁庄水库库水下泄补给。

我国水文地质工作者在该区做了大量的研究工作(张宗祜 2000)。20世纪80年代以来,笔者在该区也已测定氚样40多个,<sup>18</sup>〇和D样40多个,<sup>14</sup>C样4个,并作出了氚含量等值线图和地下水氚年龄等值线图(刘存富等,1997)。石家庄市由于大量开采地下水,在市中心区域,形成了地下水降落漏斗,使东部的地下水出现局部倒流。80年代以来,该区地下水氮污染相当严重。毕二平等(2001)对该市地下水氮污染现状进行了分析研究,笔者2003年用地

本文由国家自然科学基金项目(编号:40272103)资助。

下水氮污染物相互关系也探讨了地下水污染的敏感性(赵俊玲等 2004)。

## 2 样品采集与计算方法

### 2.1 样品采集

为了与过去氚测年进行对比研究,针对该区已做了大量水文地质勘查工作和地下水动态观测、同位素氚等研究的特点 根据 1985 年地下水观测工作图 将各采样点尽量布在 1985 年设计的常观井上。如观测井目前已废弃,就在该井附近,与原井深度大致相当的农灌井或饮用水井中,利用现有深井泵抽取新鲜水样。

根据石家庄水文地质资料,第一含水层组的深 度在 20~50 m 左右。由于该市地下水过量开采,市 中心区第一含水层组已干枯。只在郊区第一含水层 组能取到水样 取样深度大都在 30 m 左右 ,而在东 南部,井深一般大于70 m,所取样混有深层水。一 般认为在石家庄地区"浅层水"泛指井深在120 m 以 上的地下水,地表下  $20\sim60$  m 属第一含水层组, 60~150 m 属第二含水层组。因此那些取样深度较 大的井点亦属研究范围之内。取样工具是根据中国 科学院兰州地质研究所孙明良教授于 1995 年曾采 用过的氦渗漏系数较低的钠质玻璃设计的采样管。 所有采样器腔体体积都在 100 mL 左右。两端用密 封性能可靠的活塞与其连接。出口管内径大于3 mm ,外径与分析仪器之分离系统进样口连接的尺 寸相匹配。取样前对每个采样器进行抽真空,检验 其是否漏气,活塞加真空硅脂密封。采样器具有良 好的密封性是测试结果准确可靠的保证。

#### 2.2 计算方法

<sup>3</sup>H-<sup>3</sup>He 测年方法:计算中采用( 刘恩凯,1993 ) 所介绍的综合公式,首先计算氚成因的<sup>3</sup>He:

$${}^{3}\text{He}_{\text{tr}} = {}^{4}\text{He}_{\text{tot}} R_{\text{tot}} - ({}^{4}\text{He}_{\text{tot}} - {}^{4}\text{He}_{\text{rad}})R_{\text{atm}} + {}^{4}\text{He}_{\text{eq}}R_{\text{atm}}$$

$$(1 - \alpha)^{-4}\text{He}_{\text{rad}}R_{\text{rad}}$$

式中, $^3$ He $_{\rm tr}$ 为氚成因的 $^3$ He, $^4$ He $_{\rm tot}$ 为水样中实测 $^4$ He 含量; $R_{\rm tot}$ 为水样中实测 $^3$ He/ $^4$ He 比值, $^4$ He $_{\rm rad}$ 为放射成因的 $^4$ He, $^4$ He $_{\rm rad}$ 可据下式

$${}^{4}\text{He}_{rad} = {}^{4}\text{He}_{tot} - (Ne_{tot} - Ne_{eq}) \frac{{}^{4}\text{He}_{atm}}{Ne_{atm}} - {}^{4}\text{He}_{eq}$$
求取。

式中  $Ne_{tot}$ 为实测水样中的 Ne 含量  $;Ne_{eq}$ 为与大气呈溶解平衡的 Ne 的含量  $;^4He_{atm}/Ne_{atm}$ 为大气中 $^4He/Ne$  的比值( 通常认为是常数 0.288 )  $;R_{rad}$ 为放射成因氦的同位素比值 ,通常采用平均的同位素比值( 为  $2\times10^{-8}$ 据 Mamyrin 等 ,1984 )  $;^4He_{eq}$ 为与大气平衡的水平溶解的 $^4He$  的含量( 大气成因 ) ;

 $R_{\text{atm}}$ 为大气的<sup>3</sup>He/<sup>4</sup>He 比值(为 1. 384 × 10<sup>-6</sup>据 Clarke 等 ,1976); $\alpha$  为氦同位素有效的溶解度系数(为 0. 983 据 Benson 等 ,1980 ).

## 3 测定结果分析与对比

#### 3.1 测定及计算结果

根据不同实际情况,选择了12个采样点。现场除采取水样外,还测定了电导、水温及其他参数。因为氦在自然环境中与水平衡的溶解度是温度和盐度的函数。在计算中所用的地下水的温度应计算其古温度,再通过曲线拟合来获取。本次研究中以现场所测温度作为"地下水温度"应用于计算中。这里假定浅层地下水温度多年变化不大,简化了计算的过程,对计算结果的精度影响不大。

水样中氦、氖同位素测定由中国科学院兰州地质研究所用 MG5400 质谱仪完成 ,氚测定由中国地质科学院岩溶地质研究所完成 ,所用仪器为 LSC – LB1 低本底液闪仪。测试结果如表 1。

利用  $\tau = 17.93 lr(1 + [^{3}He)/[^{3}H])$ 等十几个公式分析计算,得到石家庄市浅层地下水的 $^{3}H-^{3}He$ 法测年结果(表 2、图 1 )。

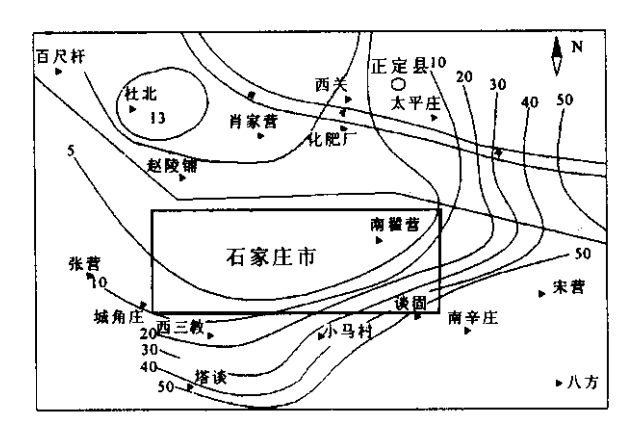


图 1 石家庄市浅层地下水<sup>3</sup>H-<sup>3</sup>He 年龄等值线图

Fig. 1 Isoline map of <sup>3</sup>H-<sup>3</sup>He ages of shallow groundwaterin Shijiazhuang

#### 3.2 结果分析与对比

从图 1 可见 ,石家庄市浅层地下水( 取样深度不等 ,在北部地区 ,约  $15\sim30~\mathrm{m}$  ,杜北大于  $50~\mathrm{m}$  ,市区 和南部在  $20\sim100~\mathrm{m}$  ) ,年龄在北部为  $5\sim10~\mathrm{a}$  ,因杜 北村取样深度在  $50~\mathrm{m}$  左右 ,其年龄为  $13~\mathrm{a}$  ,东南部 地区地下水年龄比较老 ,除塔谈采样点年龄为  $40~\mathrm{a}$  左右外 ,其余谈固、南辛庄、宋营和八方等地地下水年龄均大于  $50~\mathrm{a}$ 。

比较发现,3H-3He法测年结果与1982年氚法

#### 表 1 地下水中氦、氖、氚同位素测定结果

Table 1 Testing result of He, Ne and T isotopes in groundwater

采样地点	样品的 $R$	n /n	<sup>4</sup> He	4 (20	<b>氚含量/</b> TU	
	$( = {}^{3}\text{He}/{}^{4}\text{He})$	R/Ra	V/V	<sup>4</sup> He∕ <sup>20</sup> Ne		
南辛庄	$(8.6\pm0.8)\times10^{-7}$	0.62	$3.1 \times 10^{-6}$	0.27	2.20	
太平庄	$(1.41 \pm 0.06) \times 10^{-6}$	1.00	$4.8 \times 10^{-6}$	0.29	7.17	
赵陵铺	$(1.40\pm0.05)\times10^{-6}$	1.00	$5.2 \times 10^{-6}$	0.26	9.00	
八方	$(7.1 \pm 0.8) \times 10^{-7}$	0.51	$4.4 \times 10^{-6}$	0.324	小于 2	
谈固	$(1.17 \pm 0.13) \times 10^{-6}$	0.84	$2.6 \times 10^{-6}$	0.285	小于 2	
西关	$(1.11 \pm 0.06) \times 10 - 6$	0.79	$4.8 \times 10^{-6}$	0.377	8.30	
宋营	$(9.4 \pm 0.1) \times 10^{-7}$	0.67	$3.9 \times 10^{-6}$	0.318	小于 2	
杜北	$(1.02\pm0.05)\times10^{-6}$	0.73	$5.2 \times 10^{-6}$	0.33	10.71	
塔谈	$(1.36 \pm 0.06) \times 10^{-6}$	0.97	$5.0 \times 10^{-6}$	0.25	小于 2	
肖家营	$(1.40\pm0.09)\times10^{-6}$	1.00	$3.8 \times 10^{-6}$	0.27	12.41	
百尺杆	$(1.39 \pm 0.06) \times 10^{-6}$	1.00	$4.0 \times 10^{-6}$	0.25	13.06	
南翟营	$(1.41 \pm 0.06) \times 10^{-6}$	1.00	$4.0 \times 10^{-6}$	0.24	11.17	

表 2 地下水年龄计算结果

Table 2 Result of the ages of groundwater

采样点	南辛庄	太平庄	赵陵铺	八方	西关	宋营	杜北	塔谈	肖家营	百尺杆	南翟营	谈固
平均年龄	>50	8.4	2.1	>50	2.6	>50	13	44	7	3.2	3.6	>50

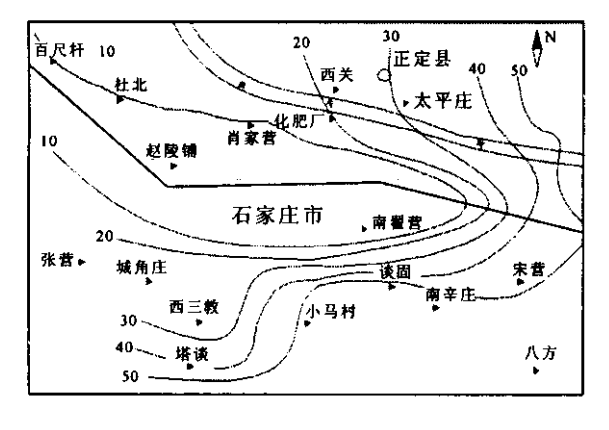


图 2 石家庄市浅层地下水<sup>3</sup>H 年龄等值线图

Fig. 2 Isoline map of <sup>3</sup>H ages of shallow groundwater in Shijiazhuang

测年结果具有一致的变化规律(图2)即从北至南地 下水年龄逐渐变老。分析其原因可知,石家庄北部 位于滹沱河现代河床带,该区地下水径流与补给条 件较好 浅层地下水主要接受滹沱河补给 特别是近 年来,为改善生态环境,黄壁庄水库每年或隔年向滹 沱河放水 因此这一带地下水交替快 ,年龄较轻。而 南部地区,包气带岩性以亚砂土、亚粘土为主,厚度 较大,主要靠大气降水补给,补给滞后时间长,地下 水交替迟缓,因而地下水年龄比北部地区的要 老。<sup>3</sup>H-<sup>3</sup>He 法测年结果的分布状况 与当地水文地质 条件总体状况也具有理论上的一致性。

### 这里需要说明几点是:

(1)为解决滹沱河下游地区用水、保护地下水

资源 近年来滹沱河上游黄壁庄水库放水量加大 致 使滹沱河两岸地区(如赵陵铺、肖家营、正定等)浅层 地下水水位下降后,在滹沱河来水时,很快得到恢 复。因此这些地方地下水交替快 地下水年龄小。

- (2)杜北井点地下水年龄相对较老,主要是因 为该取样井的深度与附近井点比较偏深。
- (3)12 个取样点的氚含量分布规律和 1982 年 12 月时的氚含量分布规律比较一致,但因时间相对 晚了 22 a 降水也减少很多 故氚含量减少很多。

#### 参考文献

张宗祜, 2000, 华北平原地下水环境演化,北京:中国地质出版社, 刘存富, 王佩仪, 周炼, 1997, 河北平原地下水氢、氧、碳、氯同位素组 成的环境意义. 地学前缘 A(1~2):267~274.

毕二平 李政红. 2001. 石家庄地下水氮污染分析. 水文地质与工程 地质(2)31~34.

赵俊玲 段光武 韩庆之等, 2004, 浅层地下水中的氮含量与地下水 污染敏感性.安全与环境工程 ,11 32~35.

刘恩凯. 1993. 测定地下水年龄的3H/3He 法. 中国同位素水文地质 学之进展(1998~1993).天津:天津大学出版社,144~149.

Mamyin B A, Tolstikhm I M. 1984. Helium Isotopes in nature. In Development in Geochemistry. ed. W. S. Fyfe, New York: Elsevier  $3:315\sim320$ .

Clarke W B, Jenkins W T, Top Z. 1976. Determination of Tritium by mass Spectrometric Measurement of <sup>3</sup>He. Inter. Jour , of APP. Radiation and Isotopes, (27):515~522.

Benson B.B. 1973. Noble gas concentration rations as palaeo temperature indicators. Geochim. et Cosmachim. Acta, 37:1391~1395.